

случаях оказывался неверным даже знак детерминанта, что приводило к появлению ложных энергетических уровней.

При вычислении учитывалось 8 векторов G_n , т. е. размерность матрицы увеличивалась с 18 до 26. Несмотря на то что увеличивается время, затрачиваемое на вычисление детерминанта, экономия, возникающая за счет автоматизации программы, существенно облегчает проведение вычислений.

СПИСОК ЛИТЕРАТУРЫ

[1] Korringa J. *Physica*, 1947, 13, p. 392. [2] Kohn W., Rostoker N. *Phys. Rev.*, 1954, 94, p. 1111. [3] Segall B., Chen A.-B. *Phys. Rev.*, 1977, B 16, p. 2556. [4] Ham F. S., Segall B. *Phys. Rev.*, 1961, 124, p. 1786. [5] Займан Дж. *Вычисление блоховских функций*. М.: Мир, 1973.

Поступила в редакцию
04.04.84

ВЕСТН. МОСК. УН-ТА. СЕР. 3. ФИЗИКА. АСТРОНОМИЯ., 1985, Т. 26, № 2

УДК 548.732

РЕНТГЕНОВСКИЕ ПОВЕРХНОСТНЫЕ ВОЛНЫ В УСЛОВИЯХ ТРЕХВОЛНОВОЙ ДИФРАКЦИИ

А. В. Андреев, В. Е. Горшков, Ю. А. Ильинский

(кафедра общей физики и волновых процессов;
кафедра квантовой радиофизики)

Возможность возбуждения рентгеновских поверхностных волн при двухволновой дифракции была рассмотрена в работе [1]. Поверхностные волны возникают в этом случае при одновременном выполнении условия полного внешнего отражения [2] и условия возникновения в вакууме неоднородной волны (полное внутреннее отражение [3]).

В настоящей работе установлена возможность существования рентгеновских поверхностных волн для скользких углов падения при трехволновой дифракции, а также проведено обобщение на трехволновой случай результатов работы [1]. Представлены результаты численного расчета интенсивностей дифрагированных и зеркально отраженной волн, а также дисперсионной поверхности кристалла кремния для комбинации отражений 311/311/600 в случае, когда вектор поляризации падающей волны перпендикулярен плоскости векторов обратной решетки.

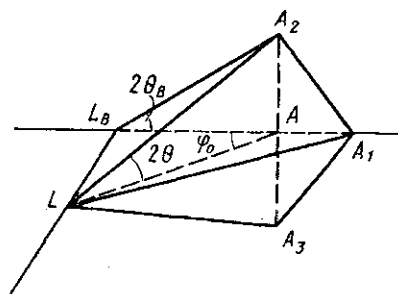


Рис. 1. Геометрия дифракции

Геометрия дифракции аналогична рассмотренной в работе [4] и изображена на рис. 1. Здесь A_i — узлы обратной решетки,

$$|A_1 A_2| = |A_1 A_3| = H, \quad |L A_i| = 1/\lambda_B, \quad |L A_i| = 1/\lambda = \kappa = |\kappa|,$$

где λ_B — длина волны, соответствующая условиям компланарной трехволновой дифракции, а κ — волновой вектор падающей на кристалл плоской волны $\vec{E}(\mathbf{r}) = e\vec{E} \exp[-2\pi i \kappa \mathbf{r}]$ (e — вектор поляризации). В дальнейшем символами k_i и κ_i будем обозначать волновые векторы волн в кристалле и в вакууме соответственно. Будем также считать, что фурье-компоненты поляризуемости $\chi(\mathbf{r})$ удовлетворяют соотношениям $\chi_{13} = -\chi_{12} = \chi_h$, $\chi_{23} = 0$.

Рассмотрим случай нескользящего падения. Ось Z , перпендикулярная поверхности кристалла, параллельна вектору A_2A_3 , а ось X параллельна вектору L_BA_1 . Волновой вектор падающей волны κ распространяется в направлении узла A_3 и составляет с поверхностью кристалла угол $\psi_1 = 2\theta + \psi$, а с осью X — угол $\varphi_1 = \varphi_0 + \varphi$. Область возбуждения в вакууме неоднородной волны определяется из условия

$$\kappa_{1z}^2 = \Delta + \kappa_z^2 - H^2 \cos^2 \theta_B \leq 0, \quad (1)$$

где $\Delta = H^2 \cos 2\theta_B - 2\kappa_x H \sin \theta_B$. Если $|\varphi_0| \ll 1$, а $|k_{1z}| \ll \kappa$, то решение дисперсионного уравнения имеет вид

$$(k_{1z}^2)_1 = a, \quad (k_{1z}^2)_2 = \frac{1}{c} \left((\Delta - a)^2 + \frac{2\beta(\Delta - a)}{a} \right), \quad (2)$$

где $a = \kappa_{1z}^2 + \kappa^2 \chi_0$, $c = (2H \cos 2\theta_B)^2$, $\beta = F^2 \chi_h^2 \kappa^4$, а $F = 1$ и $F = \cos 2\theta$ для σ - и π -поляризации падающей волны соответственно.

Из четырех корней, определяемых (2), для полубесконечного кристалла можно оставить только два корня, соответствующие полям, затухающим в глубь кристалла. Выражения для амплитуд дифрагированных наружу кристалла волн \mathcal{E}_2 и \mathcal{E}_1 имеют в этом случае вид

$$\mathcal{E}_2 = \frac{\varepsilon_3 - \varepsilon_0}{\varepsilon_2 - \varepsilon_0} \Big|_{(k_{1z})_2}, \quad \mathcal{E}_1 = \frac{(k_{1z})_1}{(k_{1z})_1 - \kappa_{1z}} \cdot \frac{\varepsilon_3 - \varepsilon_0}{F \chi_h} \Big|_{(k_{1z})_2}, \quad (3)$$

где $\varepsilon_i = k_i^2 / \kappa^2$, $\varepsilon_0 = 1 + \chi_0$, а $|\mathcal{E}| = 1$. Так как область максимума амплитуды дифрагированных волн можно оценить из условия

$$|\operatorname{Re}(k_{1z})| \leq |\operatorname{Im}(k_{1z})|, \quad (4)$$

то при одновременном выполнении условий (1) и (4) в направлении узла A_1 распространяется поверхностная волна, экспоненциально затухающая в вакуум (1) и в глубь кристалла (4). В результате получаем следующие выражения для угловых отклонений ψ и φ на границах области существования поверхностных волн:

$$\begin{aligned} \psi_{\min} &\approx \frac{|\chi'_0|}{\sin 4\theta} = 2,6'', \quad \varphi_{\min} \approx d\psi_{\min} = -53'', \\ \psi_{\max} &\approx \psi_{\min} \left(1 - 2F^2 \left| \frac{\chi'_h}{\chi'_0} \right|^2 \right) = 1,8'', \quad \varphi_{\max} \approx d\psi_{\max} = -36'', \\ d &= -\operatorname{tg} 2\theta_B / (2 \sin^2 \theta_B \sin \varphi_0). \end{aligned} \quad (5)$$

Здесь численные значения приведены для случая $\lambda = 1,389 \text{ \AA}$. Кроме того, $\lambda_B = 1,396 \text{ \AA}$, $\theta_B = 25,24^\circ$, $\varphi_0 = 9,324^\circ$, $\theta = 25,05^\circ$. Из (3) и (5) можно получить выражения для максимальной интенсивности поверхностных волн. В частности, для прозрачного кристалла $|\mathcal{E}_{1\max}|^2 = 4|\chi_h/\chi_0|^2 = 0,64$, а для поглощающего $|\mathcal{E}_{1\max}|^2 = 0,56$. Результаты численного расчета, проведенного с учетом некомпланарности, представлены на рис. 2, где по оси абсцисс отложен угол ψ в секундах, а по оси ординат величины $|\mathcal{E}_2|^2$, $|\mathcal{E}_1|^2$ и $\eta_z = (k'_{1z})_2 \cdot 10^5 / \kappa$.

На рис. 2 слева от вертикальной штриховой линии располагается область существования неоднородных волн в вакууме (1). При $\eta_z < 0$ волна k_1 дифрагирует по Брэггу, а при $\eta_z > 0$ — по Лауэ (рис. 2, в).

Пусть теперь плоскость векторов обратной решетки параллельна поверхности кристалла, что соответствует скользящим углам ψ между волновым вектором κ и поверхностью кристалла. В этом случае $\lambda \approx \lambda_B$,

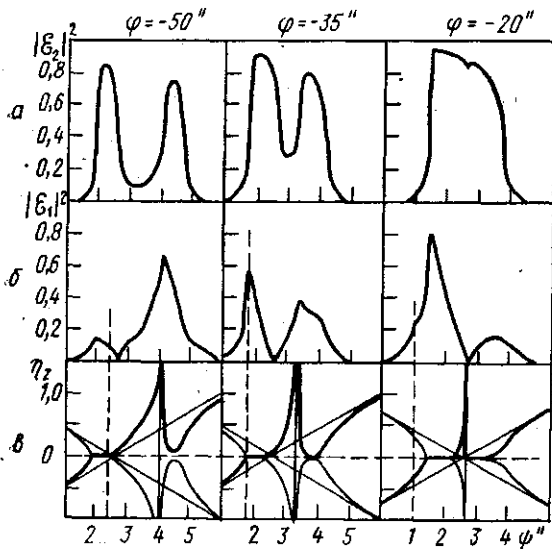


Рис. 2. Интенсивности дифрагированных волн и дисперсионная поверхность, $\lambda = 1,389 \text{ \AA}$

условий (6) определяет границу области существования поверхностных волн, на которой их амплитуда достигает максимального значения. В результате получаем: $\psi_{\max} \approx 8,4'$, а $|\varphi_{\max}| \approx 0,5''$. Результаты численного расчета интенсивностей зеркально отраженной $|\epsilon_1|^2$ и дифрагированных $|\epsilon_2|^2$ и $|\epsilon_3|^2$ волн приведены на рис. 3. Расчет был проведен с учетом поглощения.

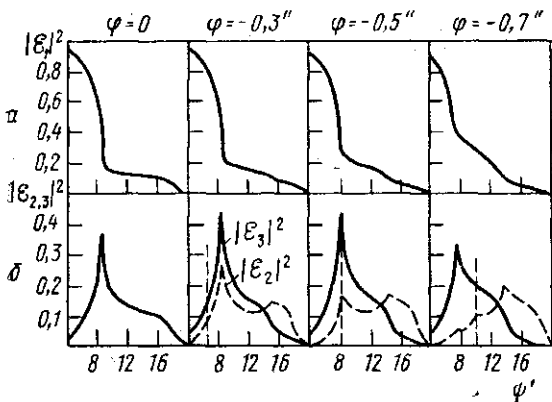


Рис. 3. Интенсивности зеркально отраженной и дифрагированных волн, $\lambda = 1,396 \text{ \AA}$

тальной плоскости — порядка десятков секунд. При скользких углах распространения всех трех волн максимальная интенсивность поверхностной волны примерно равна 0,17. Угловая ширина области ее возбуждения в плоскости падения — порядка десятков секунд, а в азимутальной плоскости — порядка секунд.

СПИСОК ЛИТЕРАТУРЫ

[1] Андреев А. В., Ковьев Э. К., Матвеев Ю. А., Пономарев Ю. В. Письма в ЖЭТФ, 1982, 35, с. 412. [2] Джеймс Р. Оптические принципы дифракции

а азимутальное отклонение φ отсчитывается от оси X , параллельной $L_B A_1$. Условия возбуждения в вакууме неоднородных волн имеют вид

$$\kappa_{2z}^2 = \kappa^2 - \kappa_{2x}^2 - \kappa_{2y}^2 = \kappa_z^2 - \Delta' + \delta \leq 0, \quad (6a)$$

$$\kappa_{3z}^2 = \kappa_z^2 - \Delta' - \delta \leq 0, \quad (6б)$$

где $\Delta' = H^2 - 2H\kappa_x \sin \theta_B$, $\delta = -2\kappa_y H \cos \theta_B$. Граница полного внешнего отражения для прозрачного кристалла определяется из условия $k_{1z}^2 \leq 0$, откуда при использовании дисперсионного уравнения получаем

$$a'((\Delta' - a')^2 - \delta^2) + 2\beta(\Delta' - a') = 0, \quad (7)$$

где $a' = \kappa_z^2 + \chi_0 \kappa^2$. Совместное решение (7) и одного из

Таким образом, мы рассмотрели два варианта возбуждения поверхностных волн при трехволновой дифракции. В отличие от случая двухволновой дифракции [1] оказывается возможным возбуждение поверхностных волн при нескольких углах падения. Ожидаемая величина максимальной интенсивности поверхностной волны $|\epsilon_1|^2 \approx 0,56$. Угловая ширина области ее возбуждения в плоскости падения — порядка секунд, а в азимутальной

УДК 621.315.592

НЕУСТОЙЧИВОСТИ В ЭЛЕКТРОННО-ДЫРОЧНОЙ ПЛАЗМЕ ПОЛУПРОВОДНИКОВ $\text{Hg}_{1-x}\text{Cd}_x\text{Te}$

Е. В. Богданов, Л. С. Флейшман

(кафедра физики низких температур)

В настоящее время на основе сплавов $\text{Hg}_{1-x}\text{Cd}_x\text{Te}$ (КРТ) создаются лавинные фотоприемники, в которых при ударной ионизации генерируется электронно-дырочная плазма (ЭДП). Исследования неустойчивостей в плазме этих сплавов приобретают значительный интерес, поскольку они могут заметно влиять на работу лавинных устройств.

В настоящей работе сообщаются результаты изучения вольт-амперных характеристик (ВАХ) и динамики установления сопротивления в полупроводниковых сплавах $\text{Hg}_{1-x}\text{Cd}_x\text{Te}$ с $x=0,20$ и $0,22$ n -типа при температурах 4,2 и 77 К в отсутствие магнитного поля и в продольных и поперечных магнитных полях $H \leq 2$ кЭ. Неориентированные образцы вырезались из массивных монокристаллов, имевших при 4,2 К концентрацию носителей 10^{15} и $4 \cdot 10^{14}$ см^{-3} для $x=0,20$ и $0,22$ соответственно. С целью избежать разогрева образцов измерения проводились по импульсной методике с применением генератора на ртутном реле. Запись импульсов, ВАХ и магнитопольевых зависимостей проводилась на самописце, подключенном к аналоговым выходам стробоскопического осциллографа.

Качественное сходство результатов, полученных в работе при 77 и 4,2 К, позволяет ограничиться изложением данных, отвечающих 4,2 К; насколько нам известно, при 4,2 К подобные измерения не проводились.

На рис. 1 представлены типичные стационарные ВАХ. При $H=0$ ВАХ (рис. 1, кривые 1, 2) имеют характерный для узкощелевых полупроводников вид [1—4]: линейный слабопо-

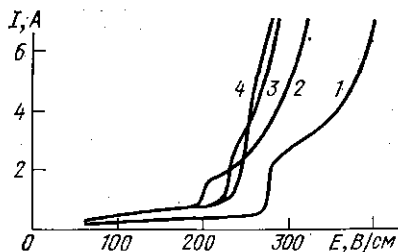


Рис. 1. Вольт-амперные характеристики образцов $\text{Hg}_{0,78}\text{Cd}_{0,22}\text{Te}$ сечением $0,25 \times 0,30$ мм (1) и $\text{Hg}_{0,80}\text{Cd}_{0,20}\text{Te}$ сечением $0,23 \times 0,16$ мм (2—4) при 4,2 К в продольном ($H \parallel I$) магнитном поле: $H=0$ (1, 2); 592 (3) и 1390 (4) Э

левой участок сменяется сублинейной зависимостью, вызванной разогревом носителей и преобладанием фоновонного механизма рассеяния горячих носителей заряда [5] (наблюдавшийся суперлинейный участок, по видимому, связан с уменьшением эффективности примесного рассеяния при разогреве носителей). Последующее резкое увеличение тока является следствием пробоя [1—3], что подтверждается резким падением коэффициента Холла в этой области электрических полей E , причем